

真空物理与技术

及其在电子器件中的应用

下 册

胡汉泉 王迁 主编

图书馆 - 电子科学系

真空物理与技术及其在 电子器件中的应用

下 册

胡汉泉 王 迁 主编

國防工業出版社

内 容 简 介

本书分上、下两册出版。上册包括一至五章，主要内容为真空技术物理基础、清洁真空的获得、真空测量与检漏、分压强测量和质谱分析。下册包括六至十二章，主要内容为真空科学与技术的某些新领域，如表面分析、真空击穿、蒙特卡洛法的应用、真空中的气体来源与物质迁移，还有真空技术在电子器件中的应用，如消气剂、电真空器件的排气以及密封电真空器件内真空调度测量等。

本书主要特点是，既着重于阐明真空技术的物理基础，以期读者提高分析和解决问题的能力，又充分反映了近二十年来国内外真空技术的新成果和发展动向，概括了真空工艺的丰富实践经验。本书内容丰富，取材新颖，略去了常见的陈旧的内容，对各个领域的真空技术工作者将有所帮助。

本书可供从事真空技术的研究、生产、应用的广大技术人员，大专院校有关专业师生、研究生参考。

真 空 物 理 与 技 术 及 其 在 电 子 器 件 中 的 应 用

下 册

胡汉泉 王 迁 主编

责任编辑 刘树兰

*

国 防 工 业 出 版 社 出 版

新华书店北京发行所发行 各地新华书店经售

国防工业出版社印刷厂印装

*

850×1168 1/32 印张 20 533 千字

1985年4月第一版 1985年4月第一次印刷 印数：0,001—3,200册
统一书号：15034·2702 定价：3.65元

目 录

第六章 电真空器件中的气源和物质迁移	1
§ 6.1 气体来源	2
6.1.1 溶解	2
6.1.2 渗透	7
6.1.3 出气	12
6.1.4 蒸发	29
6.1.5 分解	39
§ 6.2 残余气体的化学反应	45
6.2.1 气体在热表面上的反应	46
6.2.2 残气之间的热化学平衡	51
§ 6.3 阴极与气氛的作用	62
6.3.1 热阴极	64
6.3.2 光电阴极	107
6.3.3 冷阴极	113
6.3.4 阴极与气氛作用的复杂性	116
§ 6.4 物质迁移	117
6.4.1 迁移的机理	117
6.4.2 污染的来源和影响	121
6.4.3 物质迁移的危害及复杂迁移过程	123
第七章 电真空器件的排气	129
§ 7.1 电真空材料的出气特性	130
7.1.1 玻璃	130
7.1.2 陶瓷	139
7.1.3 金属	144
§ 7.2 器件外壳与内部电极的除气	149
7.2.1 器件外壳的加热除气	149
7.2.2 器件内部电极的加热除气	156

§ 7.3 阴极的处理	176
7.3.1 阴极在排气时的处理过程	177
7.3.2 阴极处理规范的选择	181
§ 7.4 消气剂处理与器件的封离	185
7.4.1 消气剂的处理	185
7.4.2 器件的封离	190
§ 7.5 器件零件的净化热处理与存放	191
7.5.1 零件的净化热处理	191
7.5.2 清洁零件的存放	200
§ 7.6 排气系统的考虑	204
7.6.1 电真空器件排气的特点	204
7.6.2 器件的抽气过程与排气系统的选型	206
第八章 消气剂及其应用	215
§ 8.1 电子管对消气剂的基本要求	215
§ 8.2 蒸散型消气剂	220
8.2.1 钡膜的吸气特性与机理	221
8.2.2 蒸散型消气剂的发展与分类	246
8.2.3 钡消气剂的基本参数	256
8.2.4 钡消气剂的蒸散工艺	257
8.2.5 钡消气剂污染和活性检验方法	259
§ 8.3 非蒸散型消气剂	260
8.3.1 单质型（ⅣB族金属锆、钛等）消气剂的吸气 特性及吸气机理——金属高温氧化理论	261
8.3.2 非单质型消气剂的吸气性能	272
§ 8.4 采用消气剂的一般原则	302
§ 8.5 锆铝消气剂泵	303
第九章 电真空器件内真程度的测量	316
§ 9.1 放电电流法	316
9.1.1 辉光放电法	316
9.1.2 磁控放电法	318
§ 9.2 热阴极电离计法	319
9.2.1 三极管的测量	320

9.2.2 多极管的测量	337
第十章 真空击穿	352
§ 10.1 强电场作用下表面的电子发射	355
§ 10.2 击穿之前的预击穿过程	362
10.2.1 场致发射及有关的脉冲现象	362
10.2.2 微放电现象	372
10.2.3 微粒预击穿现象	377
§ 10.3 击穿过程及其机理	384
10.3.1 场致发射引发的击穿机理	385
10.3.2 粒子交换理论	391
10.3.3 微粒引发的击穿过程——小块理论	392
§ 10.4 影响金属电极间真空绝缘的因素及实验实例	406
10.4.1 影响金属电极间真空绝缘的因素	406
10.4.2 排气技术对真空击穿的影响	415
10.4.3 电子管内真空击穿的特征	419
第十一章 表面分析	423
§ 11.1 缇言	423
11.1.1 表面和表面的性质	423
11.1.2 表面信息及表面分析技术的特征	428
11.1.3 表面分析技术和电真空技术	430
§ 11.2 表面分析技术概述	432
11.2.1 探束和被检测粒子以及分析方法的类型和命名	432
11.2.2 表面分析技术和超高真空	436
§ 11.3 以电子为探束的表面分析技术	438
11.3.1 入射电子与固体的相互作用	438
11.3.2 俄歇电子能谱	444
11.3.3 低能电子衍射	482
§ 11.4 光电子能谱	503
11.4.1 光电子能谱的物理基础	504
11.4.2 光电子能谱仪的结构和测量	515
11.4.3 X射线光电子能谱及其应用	519
11.4.4 紫外光光电子能谱的应用	533

§ 11.5 以离子为探束的表面分析技术	537
11.5.1 概论	537
11.5.2 离子溅射剥蚀及其效应	541
11.5.3 离子激发俄歇电子能谱	548
11.5.4 离子散射能谱	551
11.5.5 二次离子质谱仪	563
§ 11.6 表面分析技术的组合应用	574
第十二章 蒙特卡洛法的应用	584
§ 12.1 蒙特卡洛法简介	585
12.1.1 蒙特卡洛法	585
12.1.2 计算圆筒传输几率	586
12.1.3 计算定积分 $P_r = \int_0^1 f(x) dx$	593
12.1.4 基本思想和解题步骤	595
12.1.5 蒙特卡洛法的特点	597
12.1.6 伪随机数	598
§ 12.2 三类物理过程的蒙特卡洛模拟	599
12.2.1 模拟自由分子流	600
12.2.2 模拟电子发射	606
12.2.3 模拟气体放电	611
§ 12.3 模拟人字形障板中的分子流	619
12.3.1 模拟目的	619
12.3.2 计算传输几率	619
12.3.3 计算返油几率	626
12.3.4 计算结果和实验验证	628

第六章 电真空器件中的气源和物质迁移

影响真空设备或器件极限真程度的要素有两个：

- (1) 抽气手段，如真空泵、消气剂；
- (2) 气体来源，如出气、渗透、蒸发、分解、漏气，等等。

一动态真空系统，其动态平衡压强为

$$P_1 = P_s + \frac{F}{S_e} \quad (6.1)$$

式中 P_s ——抽气机组的极限真程度（托）；

F ——各种气体来源（托·升/秒）；

S_e ——有效抽速（升/秒）。

一个封离后的静态真空系统，其压强为

$$P_2 = P_1 + \frac{Ft}{V} \quad (6.2)$$

式中 P_1 ——封离时的真程度（托），由式(6.1)决定；

t ——封离后经过的时间（秒）；

V ——真空室的体积（升），如电子管的体积。

P_2 为时间的函数，随着各种气源的进入真空空间而不断上升，直到气源与环境气氛达到平衡， Ft 项不再增加为止。

电子管封离后虽为静态，但是管内置有消气剂，因此是一个准静态真空系统。消气剂相当于真空泵，但抽气能力有限，故吸气容量将会逐渐饱和。这时

$$P_s = P_1 + \frac{F}{S_0} - \frac{V}{S_0} \cdot \frac{dP}{dt} \quad (6.3)$$

式中 S_0 ——消气剂及电极材料的化学清除和电清除速率（升/秒）；

dP/dt ——压强变化率（托/秒），

8510441

管子封离时的压强为 P_1 。如果不计封离过程的出气，则 P_1 就是由式(6.1)中 S_0 所维持的平衡压强。由式(6.3)可见， P_0 也是时间的函数。

一般来说，可用降低 F 和增大 S_0 的方法来提高动态系统的真 空度。准静态系统中的消气剂在超过寿命时间之后，吸气容量趋于饱和， S_0 下降；在一定条件下（如升温、电子轰击），原来吸的气体还会重新放出。因此，按照式(6.2)、(6.3)，要提高静态和准静态（电 真空器件多属于这种准静态）情况下的真 空度，必须降低气源 F 。

本章内容就是讨论各种气体来源、气 氛相互转化的次级过 程、伴随的物质迁移及其对气 氛的影响。

§ 6.1 气 体 来 源

6.1.1 溶 解

一、金属中气体的溶解度

金属是晶体结构。当溶质溶解于金属中时，可能有两种情况：一是溶质跑到了金属晶格的间隙中，形成填隙式固溶体；另一种情况是金属晶格上的原子被外来原子所代替，形成置换式固溶体。对气体溶质来说，第二种情况出现的可能性较小。因为只有当溶质原子和溶剂原子非常相似时才会发生。晶格的规则排列使气体原子不容易硬挤进金属原子的间隙之中。只有气体原子比金 属晶格间隙小得多时才有可能。例如，Fe 的晶格常数是 2.86 埃，而最小的气体分子 He 的直径是 2.18 埃，H₂、O₂、N₂ 分子的直 径更大，分别为 2.75，3.64 和 3.75 埃，都很难挤入。但当它们离解成原子态之后，其原子直径却分别只有 0.56，1.32 和 1.42 埃，就可能进入铁的晶格间隙中。

此外，金属内所含杂质及其分布，金属晶粒的大小和取向，金相结构和缺陷（如空位、脱位原子、位错等），也对溶解度有影响。由于上述种种复杂因素，气体在金属中的溶解规律难以由理论定量地给出，还须要通过实验来测定。

测量表明，金属表层含有大量的水蒸气，其中有些是在表面上的物理吸附，有些则吸收在金属表面的多孔氧化膜内。金属体内溶解的气体通常是 H₂、N₂、O₂、CO 和 CO₂，没有水蒸气。这些气体主要是在熔炼过程中吸收、吸留的，也有一部份气体与金属形成化合物而存留于金属中。金属体内的气体含量如折合为标准状态下的气体体积数，通常约为金属自身体积的 10~100%。

电真空器件中所用的材料多为金属。由于氢原子直径最小，容易溶解于金属，而烧氢处理又是广泛采用的工艺，因此，这里着重讨论氢在金属中的溶解。

氢溶于金属有五种类型：

(1) 氢在 Ni、Fe、Co、Cr、Cu、Al、Ag、Mo、Pt、Mn 等金属中形成固溶体，其溶解度 C 与 \sqrt{P} 成正比 [详见式 (1.201 b)]，并随温度上升而增加。这类金属在溶氢过程中伴随着吸热效应 [见式 (1.202 b)]，称为第一类金属。

(2) 在 Ti、V、Zr、Nb、La、Ce、Ta、Th、Pd、Hf 等 I B、IV B、V B 族金属中，氢与金属组成假氢化物。它的溶解度 C 与 \sqrt{P} 成正比，但随温度上升而下降。这类金属在溶氢过程中伴随着放热效应 [见式 (1.202 b)]，称为第二类金属。

(3) 氢同碱金属和碱土金属组成氢化物，如 NaH、CaH₂ 等，形成以离子键结合的离子化合物。

(4) 与 C、Si、S、Se、As 等 IV A、VA、VI A 族元素组成以共价键结合的共价化合物。

(5) Au、Zn、Cd、In、Tl 等金属不能溶解氢。

第一类金属常用作电真空器件的结构材料，氢溶解度较小，大约在 10⁴ 个金属原子中溶解的氢原子数不超过 4 个。第二类金属常作为消气剂材料，氢溶解度大得多，大约每个金属原子可溶解 0.5~3 个氢原子。钢和不锈钢是金属真空系统和电真空器件常用的外壳材料，图 6.1 给出了氢在不同金相结构的钢材中的溶解度。

粗略地说，CO、CO₂ 只能溶于 Fe、Ni 这样一些金属而形

成碳化物。CO 不溶于 Cu。虽然许多金属不直接溶解 CO 和 CO₂，但在真空中可由于碳的向外扩散并与表面金属氧化物反应，形成 CO、CO₂ 而释出。

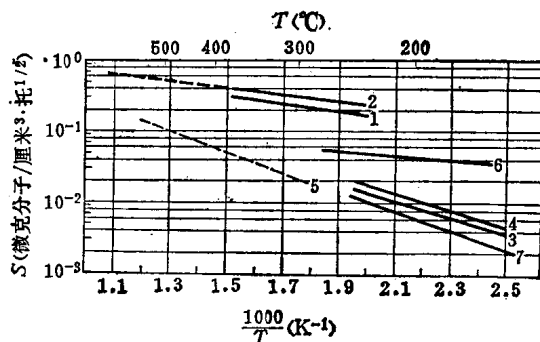


图 6.1 H₂ 在各种钢中的溶解度⁽¹⁾

曲线号	金相结构	成分 (%)					溶解热 q_s (千卡/克分子)
		C	Cr	Ni	Mn	Si	
1	奥氏体	0.07	18.0	8.7			2.2
2	焊接后的铁素体， 残留有奥氏体	0.07	18.0	8.7			2.5
3	铁素体	0.12		0.50	0.01		5.0
4	铁素体	0.09		0.51	0.05		4.0
5	铁素体-珠光体	0.12		0.53	<0.1		4.8
6	珠光体	0.26	14.1	1.3	0.41	0.46	1.1
7	铁素体-珠光体	0.11		0.53	<0.1		6.2

H₂、O₂、N₂ 在各种金属中的溶解度 S [其定义参见式 (1.201)] 与温度的关系示于图 6.2 [见式 (1.202a)]。

二、非金属材料中气体的溶解度

石英 (SiO₂) 是晶体结构，而主要成份是 SiO₂ 的玻璃 (包括石英玻璃) 则是非晶体结构。石英晶体的晶格孔径约为 4 埃；各种玻璃的孔径则随着填充于网格中的金属离子数的增加而变小 (图 6.3)。通常，将玻璃粗略地分成两类。一类是硬玻璃或硼硅玻璃，其中主要附加成分是 B₂O₃；另一类是软玻璃，其中附加成分为金属氧化物：附加物主要是 Na₂O 的称为钠玻璃，附加物主

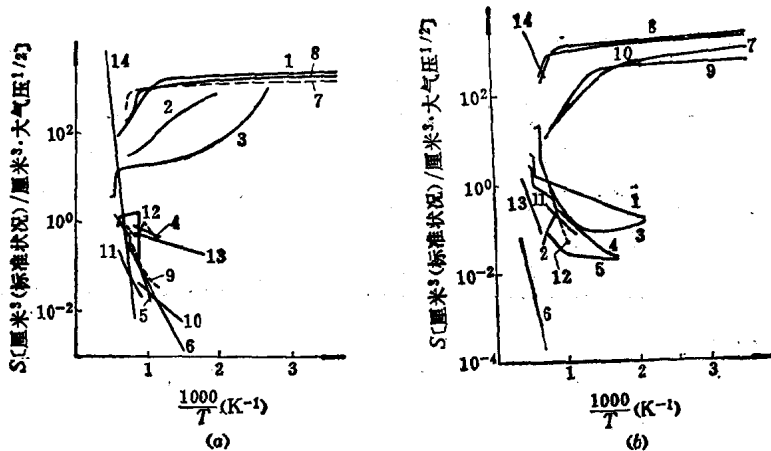


图6.2 各种气体在金属中溶解度随温度的变化⁽²⁾

(a) 1—H₂-Ti; 2—H₂-Ta; 3—H₂-Pd; 4—O₂-Cu; 5—N₂-Fe;
6—H₂-Cu; 7—H₂-Ce; 8—H₂-Th; 9—H₂-Cr; 10—H₂-Ag;
11—H₂-Pt; 12—O₂-Co; 13—H₂-不锈钢; 14—H₂-W。

(b) 1—H₂-Ni; 2—N₂-Mo; 3—O₂-Ag; 4—H₂-Fe; 5—H₂-Mo;
6—N₂-W; 7—H₂-V; 8—H₂-Zr; 9—H₂-Nb; 10—H₂-La;
11—H₂-Co; 12—H₂-Al; 13—N₂-Mo; 14—H₂-Mo。

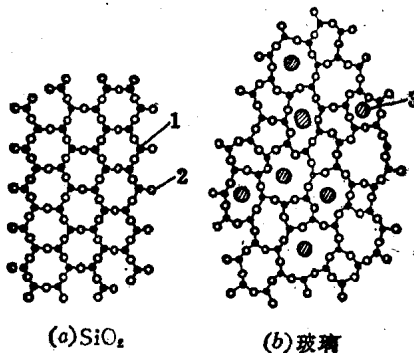


图6.3 玻璃的二维结构示意图

1—硅原子; 2—氧原子; 3—碱金属原子。

要是 PbO 的称为铅玻璃，等等。气体在玻璃中的溶解有物理的（气体分子简单地吸收、吸留于玻璃网格之中）和化学的（发生化

学反应) 两种情况。

玻璃中水蒸气、CO₂、O₂、SO₂ 的溶解是玻璃熔融时以化学反应的方式吸收的。其中以水蒸气的溶解为主，其溶解度近似于金属体内气体溶解度的数量级，约比物理溶解的 He 高两个多数量级。水蒸气的溶解常以 OH 基的形式出现。玻璃中金属离子的含量越大(即越软的玻璃)，水蒸气的溶解度越高。玻璃的表层也以表面水化物的形式牢固地吸收许多水蒸气，形成风化层(参见 § 7.1)。He 在各种玻璃中的溶解度见图 6.4。其它气体的溶解度见表 6.1。

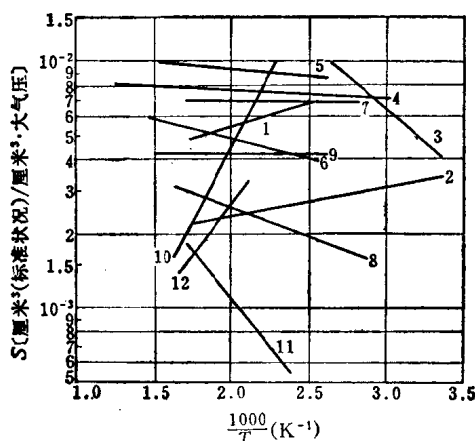


图 6.4 He 在各种玻璃中的溶解度^[2~4]

曲线号	玻璃型号	百分组成 (%)						
		SiO ₂	B ₂ O ₃	Na ₂ O	K ₂ O	PbO	Al ₂ O ₃	CaO
1	国产 11*	74.8	18	4.2	1.7		1.0	0.3
2	国产 95*	78.5	14	5			2	
3	外柯 7900	96	3				1	
4	派勒克斯 7740	81	13	4			2	
5	硼硅 7720		93	4				
6	硼硅 7056(650)		90	7			1(其它)	
7	硼硅	76.1	16.0	5.4	0.6		1.75	
8	硼硅	75.9	16.0	4.9	0.8		0.4	
9	硼硅	64.7	23.2	4.0	4.1		4.0	
10	硼硅	75.3	7.6	5.7	0.8		6.2	
11	铅硅	56.2		7.6	4.5	30.0	1.2	
12	钠钙	69.1		13.2	1.7		3.3	

表6.1 常温下气体在玻璃中的溶解度^[6~7]

材 料	溶解度[厘米 ³ (标准状况)/厘米 ³ ·大气压]					
	H ₂ O	CO ₂	CO	CH ₄	H ₂	N ₂
硼硅玻璃	6.8×10^{-1}	6×10^{-3}	4.6×10^{-3}	1.4×10^{-3}	1.4×10^{-3}	6.8×10^{-4}
钠钙玻璃	9.1×10^{-1}	9×10^{-3}		9×10^{-4}	1.8×10^{-3}	
铝硅玻璃	4.6×10^{-2}	3×10^{-4}	4.6×10^{-4}	4.6×10^{-5}		
国产11°玻璃	1.8					
国产8°玻璃	9.4×10^{-1}					

陶瓷是一种晶体和玻璃相的混合物，它有三种类型：氧化物瓷，硅酸盐瓷和氮、硼、碳的化合物。常用的氧化物瓷具有多孔结构，气孔一般占体积的10%，玻璃相的作用是填封气孔。硅酸盐瓷含有较多的玻璃相，约占70%左右，因而溶解气体的情况与玻璃类似。含玻璃相少的氧化物瓷含气较少。

云母是一种天然矿物，成份是钾铝硅酸盐或钾镁铝二硅酸盐，也可以人工合成。云母具有层状结构，层间死空间内吸留的气体较多。为了防止破坏结晶水，烘烤温度不宜过高。合成云母的含气要少得多。

塑料、橡胶类有机材料结构比较疏松，它们的微观孔隙大于各种常见气体分子的直径，气体分子能向内扩散，因此，许多气体或多或少地都能溶解。溶解度大小主要取决于材料与气体分子间的亲合力。H₂O是极性分子，亲合力较大，故溶解度较高，一般约为1~10厘米³(标准状况)/厘米³；惰性气体亲合力最小，故溶解度较小。这类有机材料本身的分子力情况相近，所以，对气体溶解度的差别还与材料的致密程度有关。

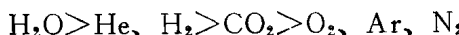
材料在足够高温度下的出气累积量，在一定程度上可以反映出溶解气体量的情况，本节后面表6.5中的数据可供参考。

6.1.2 渗 透

一、气体对非金属材料的渗透

所有气体，包括惰性气体和某些蒸气都能透过有机材料。气

体对有机材料呈分子态渗透，渗透率比其它材料高，渗透大小的顺序是：



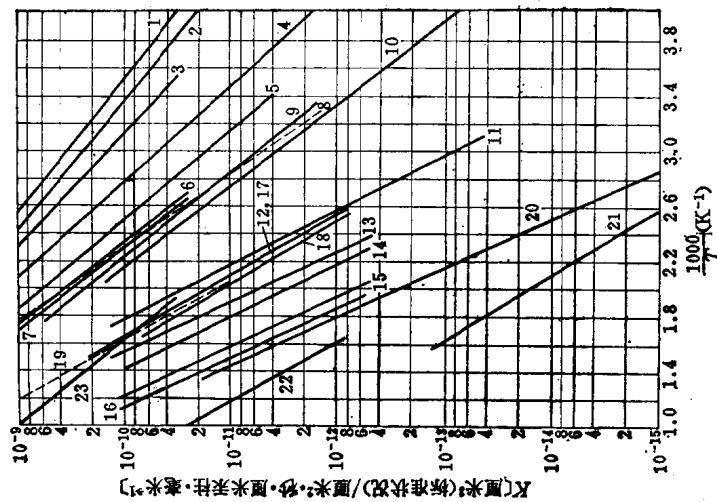
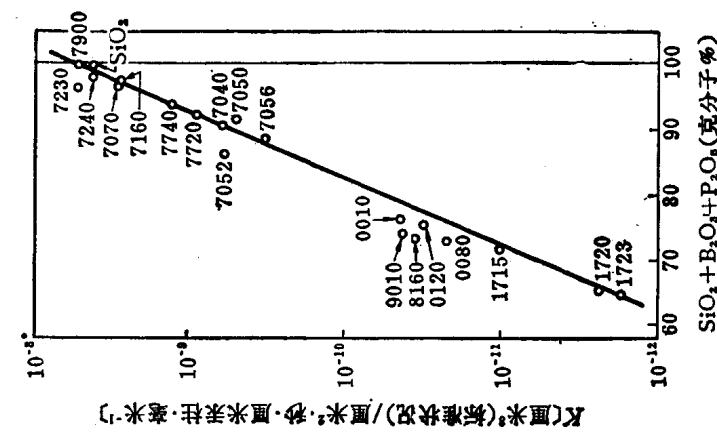
这是由气体分子直径以及气体和有机物分子间的亲合力所决定的。因此，对有机材料应主要考虑水汽的渗透。

各种气体对玻璃、陶瓷的渗透也以分子态进行，故渗透速率与气体压强呈线性关系。各种气体对石英玻璃的渗透情况列于表 6.2。由表可见，气体分子直径越小，越易渗透。但 H_2 与 Ne 的结果相比，说明分子直径不是唯一的因素。在各种气体中， He 最容易透过玻璃，虽然大气中 He 的分压较低，但它从大气的渗入量仍远大于其它气体，因此，对玻璃主要考虑渗 He 。研究 He 对各种玻璃的渗透系数 K 时，发现 $\lg K$ 与玻璃中酸性氧化物 ($\text{SiO}_2 + \text{B}_2\text{O}_3 + \text{P}_2\text{O}_5$) 的克分子百分率之间呈线性关系（图 6.5）。玻璃成分的改变可使 He 的渗透系数变化六个数量级。一般，玻璃越软 (SiO_2 等含量小)，渗透系数越小；玻璃越硬，渗透系数越大，故石英的渗透率最高。当玻璃中酸性氧化物低到在总组成中仅占 20~30% 时，则渗透率很低。这是由于 Na 、 K 、 Ca 、 Pb 、 Al 等金属离子填塞了晶格间隙所致。

表 6.2 25°C 时各种气体对石英的渗透^[8]

气体	气体分子直径 (埃)	渗透系数 K		从大气中的渗入量 K_p [厘米 ³ (标准状况) 厘米 ² ·秒·厘米汞柱·毫米 ⁻¹]	渗透量递减次序
		厘米 ³ (标准状况) 厘米 ² ·秒·厘米汞柱·毫米 ⁻¹	大气中的分压强 (厘米汞柱)		
He	2.18	5.0×10^{-11}	4.0×10^{-4}	2.0×10^{-14}	1
Ne	2.60	2.0×10^{-15}	1.4×10^{-3}	2.8×10^{-18}	2
H ₂	2.75	2.8×10^{-14}	3.8×10^{-6}	1.0×10^{-18}	3
O ₂	3.64	1.0×10^{-28}	1.59×10^1	1.6×10^{-27}	4
N ₂	3.75	2.0×10^{-29}	5.95×10^1	1.2×10^{-27}	5
Ar	3.67	2.0×10^{-29}	7.05×10^{-1}	1.4×10^{-29}	6

He 对各类玻璃、陶瓷的渗透系数随温度的变化示于图 6.6。气体在垂直于云母层面方向上的渗透系数很小，例如，He



曲线号	材 料	百 分 组 成 (%)										
		SiO ₂	B ₂ O ₃	P ₂ O ₅	Na ₂ O	K ₂ O	Li ₂ O	PbO	Al ₂ O ₃	CaO	MgO	BaO
1	石英玻璃 外柯 7900 7240	96	3	—98—	—	—2—	—	—	—	1	—	—
2	熔融石英	100	—	—	—	—	—	—	—	—	—	—
3	硼硅玻璃 7160 7070	70	28	—98—	0.5	1.2	—	—	1.1	0.1	—1—	0.2
4	派勒克斯 7740	81	13	—	—4—	—	—	—	2	—	—	—
5	7720	—	—93—	—	—4—	—	—	2	—	—1—	—	—
6	7040	—	—91—	—	—7—	—	—	—	—	—2—	—	—
7	7050	—	—92—	—	—7—	—	—	—	—	—1—	—	—
8	7052	—	—86—	—	—6—	—	—	—	—	—5—	—	—
9	国产 95* 11*	78.5	14	—	—5—	—	—	2	1.0	0.3	—	—
10	7056(650)	—	—90—	—	—7—	—	—	3	—	—	—	—
11	磷玻璃	5	77	—	—	—	—	11	—	—	—	—
12	钠钙玻璃 9010	—	—75—	—	—14—	—	—	—	—	—8—	—	—
13	0080	72	—	—	—17—	—	—	1	—	—10—	—	—
14	铝硅玻璃 1715	72	—	—	—	—	—	—	—	—28—	—	—
15	1720	62	5	—	—	—	—	18	—	—15—	—	—
16	1723	65	—	—	—	—	—	—	—	—35—	—	—
17	铅硅玻璃 0010	77	—	—	—14—	—	8	—	—	—1—	—	—
18	0120	76	—	—	—12—	—	11	—	—	—1—	—	—
19	8160	74	—	—	—12—	—	8	—	—	—5—	—	—
20	高铅玻璃 31	—	—	—	—	—	61	—	—	8	—	—
21	铅硼玻璃 22	—	—	—	—	—	78	—	—	—	—	—
22	陶瓷 97% Al ₂ O ₃	—	—	—	—	—	—	97	—	—	—	—
23	微晶玻璃9606	—	—	—	—	—	—	—	—	—	—	—

① 由于厂家不同，同一牌号玻璃的配方可能略有差异。